

ОБЪЕДИНЕННЫЙ  
ИНСТИТУТ  
ЯДЕРНЫХ  
ИССЛЕДОВАНИЙ  
дубна

13-84-823

Н.К. Жидков, М.Д. Трайкова

**ПОЛРАВКИ**

**НА НЕУПРУГОЕ ЯДЕРНОЕ ВЗАИМОДЕЙСТВИЕ  
ИЗОТОПОВ ВОДОРОДА И ГЕЛИЯ  
В КРИСТАЛЛАХ Si, Ge, NaI, CsI**

Направлено в журнал  
"Nuclear Instruments and Methods"

**1984**

## ВВЕДЕНИЕ

Для идентификации легких ядер и измерения их энергии в спектрометрах широко применяются полупроводниковые (Si, Ge) и сцинтилляционные (NaI(Tl), CsI(Tl)) детекторы. При регистрации ядер часть  $f$  из них испытывает ядерное взаимодействие с веществом детектора с сечением реакции  $\sigma_R = \sigma_{\text{TOTAL}} - \sigma_{\text{ELASTIC}}$  и выдается из заданного энергетического интервала регистрации. Поправка  $f$  может достигать 50% и более. В литературе имеются данные о таких поправках на взаимодействие протонов с кристаллами Si, Ge, NaI, CsI<sup>1,2,3</sup> и на взаимодействие d, <sup>3</sup>He, <sup>4</sup>He с NaI<sup>4,5</sup>. В работе<sup>6</sup> сделан теоретический расчет поправок  $f$  на взаимодействие изотопов водорода и гелия с кристаллом NaI.

В настоящей работе единым методом выполнен теоретический расчет поправок  $f$  для ядер p, d, t, <sup>3</sup>He, <sup>4</sup>He в кристаллах Si, Ge, NaI, CsI в интервале энергий от 1 до 500 МэВ. В работах<sup>1-4</sup> для вычисления поправок  $f$  использованы значения сечений взаимодействий ядер с кристаллами, полученные экстраполяцией из экспериментальных данных. Ввиду незначительного количества экспериментальной информации о сечениях, в настоящей работе они вычисляются теоретически с применением модели дифракционного рассеяния. При энергиях  $\geq 50$  МэВ использованный метод вычисления сечений аналогичен методу работы<sup>6</sup>.

## 1. РАСЧЕТ ПОПРАВОК НА ЯДЕРНОЕ ВЗАИМОДЕЙСТВИЕ

Пусть  $(A_1, Z_1)$ ,  $(A_2, Z_2)$  - массовые и зарядовые числа регистрируемых ядер (p, d, t, <sup>3</sup>He, <sup>4</sup>He) и ядер вещества детекторов (Si, Ge, Na, Cs, I) соответственно. Для простоты ядра  $(A_1, Z_1)$  и  $(A_2, Z_2)$  будем называть ядрами 1 и 2.

В слое вещества толщиной  $dx$  поток N ядер за счет взаимодействия с веществом с сечением реакции  $\sigma_R$  изменяется на величину

$$dN = -N \frac{N_A}{A} \rho \sigma_R dx = N \frac{N_A}{A} \sigma_R \left( -\frac{1}{\rho} \frac{dE}{dx} \right). \quad /1/$$

Здесь  $N_A$  - число Авогадро, A и  $\rho$  - молекулярный вес и плотность вещества,  $-\frac{1}{\rho} \frac{dE}{dx}$  - плотность ионизационных потерь ядра 1 с кинетической энергией E в детекторе. Для детектора NaI /аналогич-

но для CsI /

$$(\sigma_R)_{\text{NaI}} = (\sigma_R)_{\text{Na}} + (\sigma_R)_I,$$

/2/

$$\left( \frac{1}{\rho} \frac{dE}{dx} \right)_{\text{NaI}} = \frac{A_{\text{Na}}}{A_{\text{NaI}}} \left( \frac{1}{\rho} \frac{dE}{dx} \right)_{\text{Na}} + \frac{A_I}{A_{\text{NaI}}} \left( \frac{1}{\rho} \frac{dE}{dx} \right)_I. \quad /3/$$

Из соотношения /1/ следует формула для вероятности неупругого ядерного взаимодействия ядра 1 в конечном слое вещества, в котором оно в среднем теряет на ионизацию энергию  $E - E_I$

$$f(E, E_I) = \frac{\Delta E}{N} = 1 - \exp \left[ - \frac{N_A}{A} \int_{E_I}^E \sigma_R(E) \frac{dE}{\left( -\frac{1}{\rho} \frac{dE}{dx} \right)} \right]. \quad /4/$$

При работе детектора в режиме полного поглощения ( $E_I \approx 0$ ), будем обозначать  $f = f(E, 0)$ . Из /4/ видно, что для вычисления поправки  $f$  нужно знать функции  $-\frac{1}{\rho} \frac{dE}{dx}$  и  $\sigma_R$  в зависимости от энергии E. Мы используем данные по плотности ионизационных потерь  $-\frac{1}{\rho} \frac{dE}{dx}$ , приведенные в работе<sup>8</sup>. В литературе имеется мало сведений о сечениях взаимодействия ядер, поэтому возникает необходимость вычислять сечения  $\sigma_R$  теоретически.

Сечение реакции ядер 1 и 2 можно представить в виде

$$\sigma_R(E) = W(E) \cdot \sigma_{in}(E),$$

/5/

где  $W(E)$  - вероятность прохождения ядрами потенциального барьера, создаваемого кулоновскими и центробежными силами отталкивания ядер;  $\sigma_{in}(E)$  - полное сечение неупругого ядерного взаимодействия. При низких энергиях для сферически-симметричных ядер<sup>7,8</sup>

$$\sigma_R(E_c, E_0) = \frac{R_0^2}{2} \frac{\hbar \omega_0}{E_c} \ln \left\{ 1 + \exp \left[ 2\pi \frac{E_c - E_0}{\hbar \omega_0} \right] \right\}, \quad /6/$$

где  $E_c = [\sqrt{(M_1 + M_2)^2 + 2EM_2} - (M_1 + M_2)]$  - суммарная кинетическая энергия ядер в системе центра масс,  $M_1$  и  $M_2$  - массы ядер;  $E_0$ ,  $R_0$ ,  $\hbar \omega_0$  - параметры барьера /  $E_0$  - высота барьера,  $R_0$  - расстояние между центрами ядер,  $\hbar \omega_0$  характеризует ширину барьера/;  $R_0 = R_1 + r_0 A_2^{1/3}$ ,  $r_0 = 1,416$  фм,  $R_1 = 1,443, 2,187, 3,506, 2,534$  фм/ для p, d, t, <sup>3</sup>He, <sup>4</sup>He соответственно, и  $\hbar \omega_0 \approx 4$  МэВ. Для учета деформации ядер сечение /6/ усредняется по высоте барьера  $E_0$ <sup>8</sup>:

$$\sigma_R(E_c) = \frac{1}{2\Delta} \int_{\bar{E}_0 - \Delta}^{\bar{E}_0 + \Delta} \sigma_R(E_c, E_0) dE_0. \quad /7/$$

Здесь  $\bar{E}_0 = Z_1 Z_2 e^2 / R_e$ ,  $R_e = R_1 + r_e A_2^{1/3}$ , где параметр  $r_e$  находится по графикам работы /8/, а  $\Delta = 3$  МэВ /8/.

При  $E_c \gg \bar{E}_0$  выражение /7/ сводится к классической формуле

$$\sigma_R(E_c) = \pi R_0^2 (1 - \frac{\bar{E}_0}{E_c}). \quad /8/$$

Сравнивая ее с формулой /5/, видим, что геометрическое сечение  $\pi R_0^2$  играет роль  $\sigma_{in}$ , а  $(1 - \bar{E}_0/E_c)$  - вероятности прохождения ядер через барьер. По аналогии считаем, что выражение для вероятности прохождения ядер через барьер при любой энергии имеет вид

$$W(E_c) = \sigma_R(E_c) / (\pi R_0^2). \quad /9/$$

При расчете величины  $f$  в формуле /4/ взято  $E_1 = 0,2\bar{E}_0$ , а  $\sigma_R$  вычисляется двумя способами: при  $E < 2\bar{E}_0$  - по формуле /7/, а при  $E > 2\bar{E}_0$  - по формуле /5/ с использованием выражения /9/ для  $W(E)$  и оптического приближения модели дифракционного рассеяния /9,10,11/ для  $\sigma_{in}(E)$ .

$$\sigma_{in}(E) = 2\pi \int_0^\infty \{1 - \exp[-4\operatorname{Im} \chi(b)]\} b db, \quad /10/$$

где минимая часть фазы

$$\operatorname{Im} \chi(b) = [(Z_1 Z_2 + N_1 N_2) \sigma_{pp}(E_N) + (Z_1 N_2 + N_1 Z_2) \sigma_{pn}(E_N)] \frac{T(b)}{4A_1 A_2}, \quad /11/$$

а

$$T(b) = \int_{-\infty}^{\infty} dz \int dr' \rho_1(\vec{r} - \vec{r}') \rho_2(\vec{r}'). \quad /12/$$

Здесь  $\sigma_{pp}$ ,  $\sigma_{pn}$  - полные сечения pp и pn ядерного взаимодействия /взяты из работы /12/;  $E_N = E/A_1$  - кинетическая энергия на нуклон ядра 1 в лабораторной системе;  $\rho_1$ ,  $\rho_2$  - распределения плотности ядер 1 и 2, нормированные на числа нуклонов;  $\vec{r} = \vec{b} + \vec{z}$ ,  $\vec{b}$  - прицельный параметр в плоскости, перпендикулярной оси z;  $N_1 = A_1 - Z_1$ ;  $N_2 = A_2 - Z_2$ .

Плотность  $\rho_1$  взята в гауссовой форме

$$\rho_1(\vec{r}) = A_1 \left( \frac{3}{2\pi R^2} \right)^{3/2} \cdot \exp(-\frac{3r^2}{2R^2}), \quad /13/$$

где  $R$  - среднеквадратичный радиус;  $R_p = 0,8 \text{ fm}^{1/3}$ ;  $R_d = 2,794 \text{ fm}^{1/3}$ ;  $R_{^3He} = 1,77 \text{ fm}^{1/3}$ ;  $R_t = R_{^3He}$ ;  $R_{^4He} = 1,674 \text{ fm}^{1/3}$ .

Из-за недостатка экспериментальных данных о плотностях  $\rho_2(r)$  для вычисления сечения  $\sigma_{in}$  используем экстраполяцию по массовому числу  $A_2$ . Для каждой энергии  $E_N$  вычисляем сечения взаимодействия  $\sigma_{in}$  ядра 1 с ядрами  $^{28}\text{Si}$  и  $^{140}\text{Ce}$ , по ним /аналогично работе /15// находим параметры прямой  $(\sigma_{in})^{1/2} = C_0 + C_1 A_2^{1/3}$  и по известным параметрам  $C_0$ ,  $C_1$  вычисляем сечение  $\sigma_{in}$  для любого ядра 2 с массовым числом  $A_2$ . Для ядер  $^{28}\text{Si}$  и  $^{140}\text{Ce}$  взяты распределения плотности /9/

$$\rho_2(\vec{r}) = \frac{C(1 + \frac{r^2}{R_2^2})}{1 + \exp(\frac{r - R_2}{a})}, \quad /14/$$

где для  $^{28}\text{Si}$ :  $\omega = -0,122$ ;  $a = 0,57$ ;  $R_2 = 3,21^{1/3}$ ; для  $^{140}\text{Ce}$ :  $\omega = 0$ ;  $a = 0,51$ ;  $R_2 = 5,82$ . Нормировочная константа С определяется с помощью численного интегрирования из соотношения  $4\pi \int \rho_2(r) r^2 dr = A_2$ .

## 2. РЕЗУЛЬТАТЫ РАСЧЕТОВ

На рис.1 приведены результаты расчетов сечений реакций  $\sigma_R$  ядер p, d, t,  $^3\text{He}$ ,  $^4\text{He}$  с кристаллами Si, Ge, NaI, CsI. Для сравнения на рисунке нанесены экстраполированные экспериментальные значения сечений реакции протонов с теми же кристаллами /2,3/. На рис.2 и в таблице приведены результаты расчета величин поправок f ядер p, d, t,  $^3\text{He}$ ,  $^4\text{He}$  в кристаллах Si, Ge, NaI, CsI. Для сравнения на рис.2 нанесены экспериментальные значения величины f для протонов /8/ и  $^3\text{He}$  /5/ в кристалле NaI. Расчетные данные величины f для протонов совпадают с экспериментальными в пределах 0,6%, а для  $^3\text{He}$  - в пределах 13%.

## ЗАКЛЮЧЕНИЕ

В настоящей работе теоретически вычислены сечения реакции и поправки на неупругое ядерное взаимодействие изотопов водорода и гелия в кристаллах Si, Ge, NaI, CsI в интервале энергий от 1 до 500 МэВ. Приведены графики сечений реакции и поправок, а также таблица поправок f. Метод расчета применим и для других ядер в веществе.

Авторы выражают благодарность П.В.Номоконову и Н.Л.Горшковой за помощь в организации обмена информацией на магнитных лентах между различными ЭВМ, В.А.Никитину и И.А.Савину за обсуждение работы.

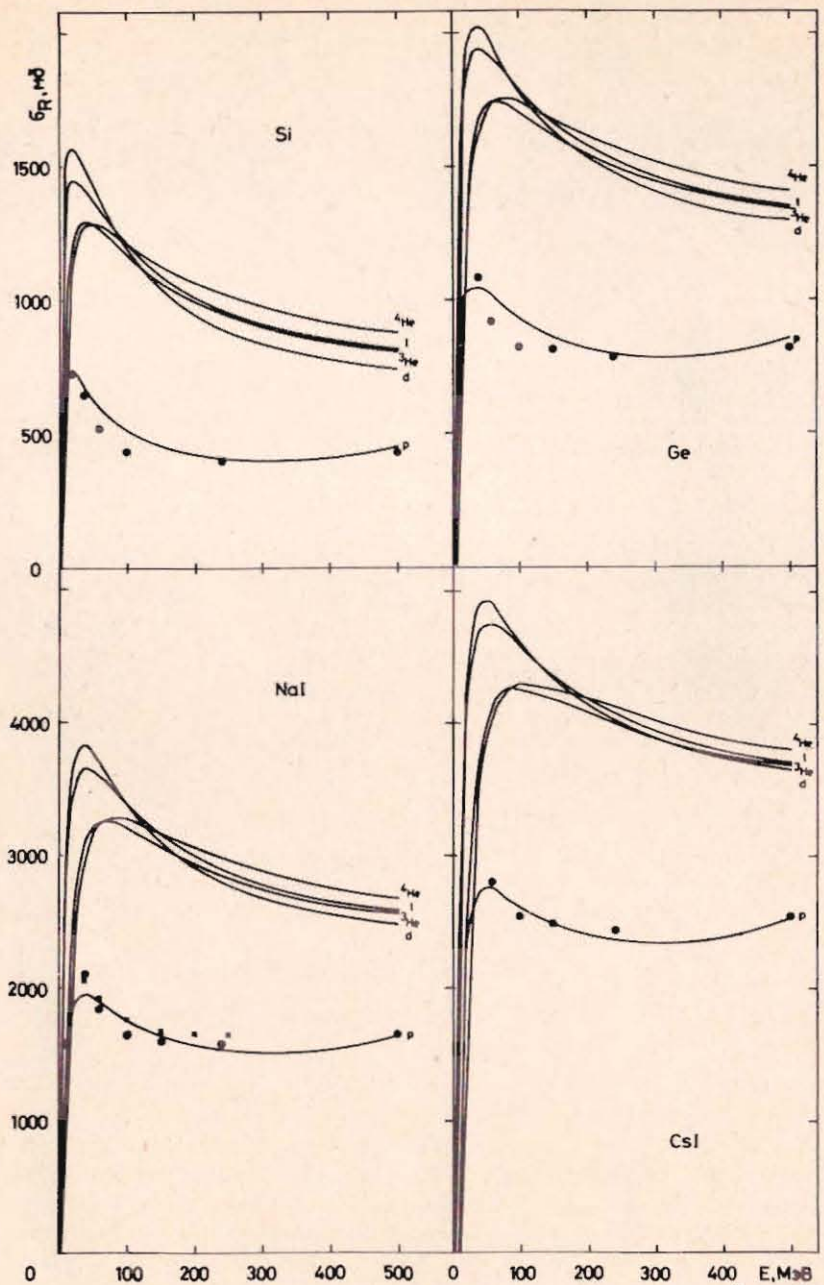


Рис.1. Сечения реакций взаимодействий ядер  $p$ ,  $d$ ,  $t$ ,  $^3\text{He}$ ,  $^4\text{He}$  с кристаллами Si, Ge, NaI, CsI. Кривые изображают вычисленные значения сечений реакций. Точками и крестиками показаны значения сечений из работ <sup>2/2</sup> и <sup>3/3</sup> соответственно.

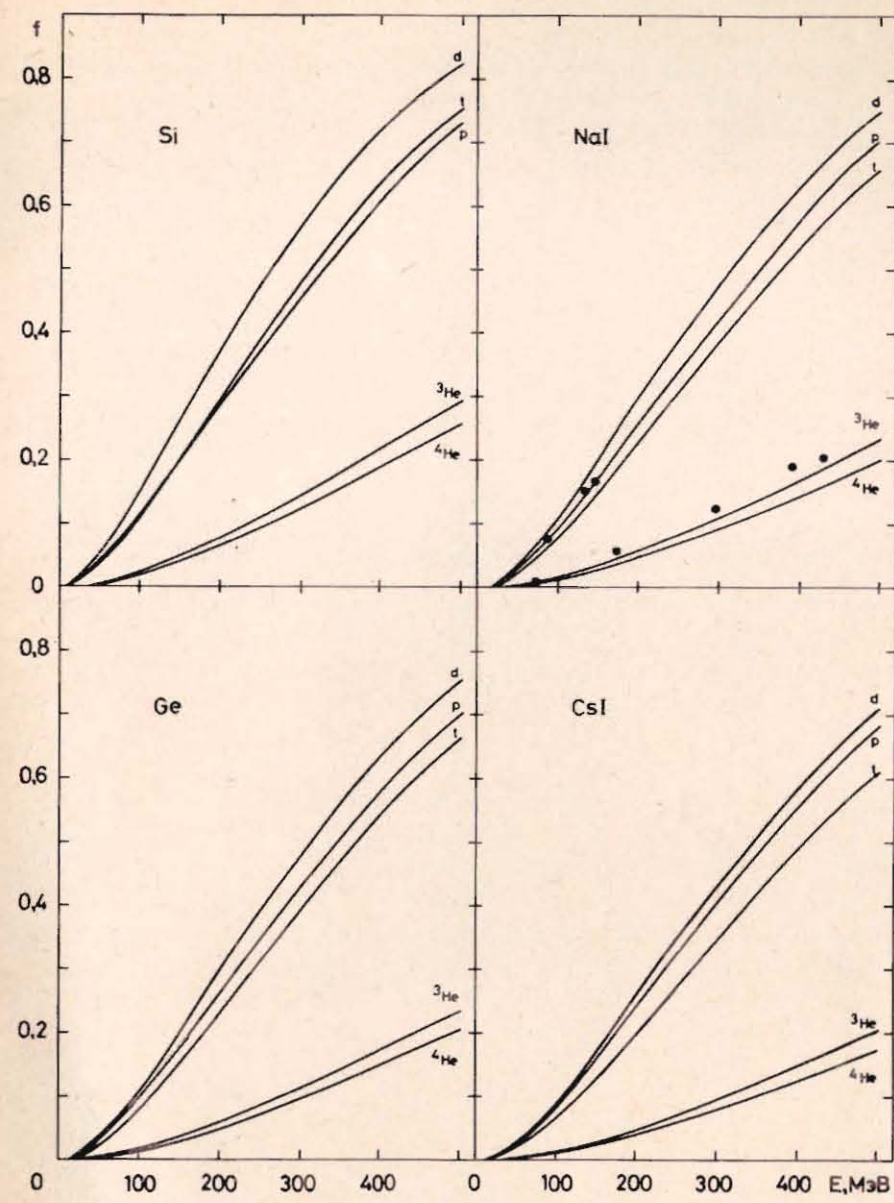


Рис.2. Расчетные значения поправок  $f$  на ядерное взаимодействие ядер  $p$ ,  $d$ ,  $t$ ,  $^3\text{He}$ ,  $^4\text{He}$  с кристаллами Si, Ge, NaI, CsI. Точками показаны экспериментальные значения для протонов <sup>2/2</sup> и  $^3\text{He}$  <sup>15/15</sup> в кристалле NaI.

Таблица

Поправки на неупругое ядерное взаимодействие изотопов водорода и гелия в кристаллах Si, Ge, NaI, CsI

Кристалл	E (МэВ)	f				
		p	d	t	$^3\text{He}$	$^4\text{He}$
Si	20	0,008	0,010	0,007	0,001	0,001
	30	0,017	0,021	0,015	0,003	0,002
	40	0,028	0,036	0,025	0,005	0,004
	60	0,055	0,070	0,049	0,011	0,009
	80	0,085	0,109	0,079	0,019	0,015
	100	0,117	0,152	0,111	0,027	0,022
	150	0,204	0,265	0,201	-0,052	0,043
	200	0,292	0,375	0,297	0,082	0,069
	250	0,378	0,478	0,392	0,114	0,097
	300	0,460	0,571	0,481	0,148	0,128
	350	0,537	0,652	0,563	0,183	0,160
	400	0,608	0,721	0,636	0,220	0,193
	450	0,674	0,779	0,701	0,257	0,227
	500	0,733	0,827	0,756	0,294	0,261
Ge	20	0,005	0,005	0,004	0,001	0,000
	30	0,012	0,013	0,010	0,002	0,001
	40	0,021	0,023	0,017	0,003	0,002
	60	0,042	0,048	0,034	0,007	0,006
	80	0,068	0,078	0,056	0,013	0,010
	100	0,097	0,111	0,081	0,019	0,015
	150	0,177	0,202	0,152	0,038	0,031
	200	0,262	0,298	0,231	0,060	0,050
	250	0,347	0,392	0,312	0,086	0,072
	300	0,430	0,482	0,392	0,113	0,096
	350	0,507	0,564	0,469	0,142	0,121
	400	0,580	0,637	0,541	0,173	0,148
	450	0,646	0,701	0,607	0,204	0,176
	500	0,706	0,756	0,667	0,236	0,205

Таблица /продолжение/

Кристалл	E (МэВ)	f			
		p	d	t	$^3\text{He}$
NaI	20	0,005	0,005	0,004	0,001
	30	0,011	0,013	0,010	0,002
	40	0,020	0,023	0,017	0,003
	60	0,041	0,047	0,034	0,007
	80	0,066	0,077	0,056	0,012
	100	0,095	0,109	0,081	0,018
	150	0,174	0,200	0,151	0,037
	200	0,258	0,295	0,229	0,059
	250	0,343	0,389	0,310	0,085
	300	0,425	0,477	0,389	0,112
	350	0,502	0,559	0,466	0,140
	400	0,574	0,632	0,537	0,171
	450	0,640	0,696	0,603	0,202
	500	0,706	0,751	0,663	0,233
	20	0,003	0,003	0,003	0,000
	30	0,009	0,009	0,007	0,001
	40	0,016	0,017	0,013	0,002
	60	0,035	0,037	0,027	0,005
	80	0,058	0,062	0,046	0,009
	100	0,085	0,091	0,067	0,015
CsI	150	0,160	0,171	0,128	0,030
	200	0,242	0,258	0,198	0,050
	250	0,326	0,346	0,272	0,072
	300	0,407	0,432	0,346	0,096
	350	0,484	0,513	0,419	0,122
	400	0,556	0,587	0,488	0,149
	450	0,623	0,653	0,554	0,177
	500	0,683	0,711	0,614	0,207
	20	0,003	0,003	0,003	0,000
	30	0,009	0,009	0,007	0,001
	40	0,016	0,017	0,013	0,002
	60	0,035	0,037	0,027	0,005
	80	0,058	0,062	0,046	0,009
	100	0,085	0,091	0,067	0,015
	150	0,160	0,171	0,128	0,030
	200	0,242	0,258	0,198	0,050
	250	0,326	0,346	0,272	0,072
	300	0,407	0,432	0,346	0,096
	350	0,484	0,513	0,419	0,122
	400	0,556	0,587	0,488	0,149
	450	0,623	0,653	0,554	0,177
	500	0,683	0,711	0,614	0,177

## ЛИТЕРАТУРА

1. Measday D.F., Richard-Serre C. Preprint CERN, 69-17, Geneva, 1969.
2. Measday D.F., Richard-Serre C. Nucl.Instr. and Meth., 1969, 76, p.45.
3. Goulding C.A., Rogers J.G. Nucl.Instr. and Meth., 1978, 153, p.511.
4. Measday D.F., Schneider R.J. Nucl.Instr. and Meth., 1966, 42, p.29.

5. Абашидзе Л.И. и др. ОИЯИ, 13~83-707, Дубна, 1983.
6. Williamson C.F., Boujot J.-P., Picard J. Tables of Range and Stopping Power of Chemical Elements for Charged Particles of Energy 0.5 to 500 MeV. Rapport CEA-R 3042, Juillet, 1966.
7. Wong C.Y. Phys.Rev.Lett., 1973, 31, p.766.
8. Vaz L.C., Alexander J.M. Phys.Rev., 1974, C10, p.464.
9. Barshay S., Dover C.B., Vary J.P. Phys.Rev., 1975, C11, p.360.
10. Ситенко А.Н. Теория ядерных реакций. Энергоатомиздат, М., 1983.
11. Элтон Л. Размеры ядер. ИИЛ, М., 1962.
12. Барашенков В.С. Сечения взаимодействия элементарных частиц. "Наука", М., 1966.
13. Franco V., Glauber R.J. Phys.Rev., 1966, 142, p.1195.
14. Sick I., McCarthy J.S., Whitney R.R. Phys.Lett., 1976, B64, p.33.
15. Millburn G.P. et al. Phys.Rev., 1954, 95, p.1268.

Жидков Н.К., Трайкова М.Д.

13-84-823

Поправки на неупругое ядерное взаимодействие изотопов водорода и гелия в кристаллах Si, Ge, NaI, CsI

Выполнен теоретический расчет потерь на ядерное взаимодействие  $p$ ,  $d$ ,  $t$ ,  $^3\text{He}$ ,  $^4\text{He}$  в кристаллах Si, Ge, NaI, CsI в интервале энергий от 1 до 500 МэВ. Результаты расчетов сравнены с известными экспериментальными данными.

Работа выполнена в Лаборатории высоких энергий ОИЯИ.

Препринт Объединенного института ядерных исследований. Дубна 1984

Перевод О.С.Виноградовой

Zhidkov N.K., Trajkova M.D.

13-84-823

Corrections Due to Inelastic Nuclear Interactions of Hydrogen and Helium Isotopes in Si, Ge, NaI, CsI Crystals

The reaction losses of  $p$ ,  $d$ ,  $t$ ,  $^3\text{He}$  and  $^4\text{He}$  nuclei in Si, Ge, NaI and CsI crystals in the energy region from 1 to 500 MeV are calculated and compared with known experimental data.

The investigation has been performed at the Laboratory of High Energies, JINR.